

**SLOVENSKÁ TECHNICKÁ UNIVERZITA V BRATISLAVE**  
**FAKULTA ELEKTROTECHNIKY A INFORMATIKY**

Evidenčné číslo: FEI-104376-104853

**PLÁNOVANIE TRAJEKTÓRIE PRE ROBOT S**  
**KINEMATICKOU ŠTRUKTÚROU SCARA**  
**DIPLOMOVÁ PRÁCA**

**2024**

**Bc. Michal Bíro**

**SLOVENSKÁ TECHNICKÁ UNIVERZITA V BRATISLAVE**  
**FAKULTA ELEKTROTECHNIKY A INFORMATIKY**

Evidenčné číslo: FEI-104376-104853

**PLÁNOVANIE TRAJEKTÓRIE PRE ROBOT S**  
**KINEMATICKOU ŠTRUKTÚROU SCARA**  
**DIPLOMOVÁ PRÁCA**

Študijný program:	Robotika a kybernetika
Názov študijného odboru:	kybernetika
Školiace pracovisko:	Ústav robotiky a kybernetiky
Vedúci záverečnej práce:	Ing. Michal Dobiš, PhD..

**Bratislava 2024**

**Bc. Michal Bíro**

# SÚHRN

SLOVENSKÁ TECHNICKÁ UNIVERZITA V BRATISLAVE  
FAKULTA ELEKTROTECHNIKY A INFORMATIKY

Študijný program:	Robotika a kybernetika
Autor:	Bc. Michal Bíro
Diplomová práca:	Plánovanie trajektórie pre robot s kinematickou štruktúrou SCARA
Vedúci záverečnej práce:	Ing. Michal Dobiš, PhD..
Miesto a rok predloženia práce:	Bratislava 2024

Kľúčové slová: SCARA, plánovanie trajektórie, RRT

# ABSTRACT

SLOVAK UNIVERSITY OF TECHNOLOGY IN BRATISLAVA

FACULTY OF ELECTRICAL ENGINEERING AND INFORMATION TECHNOLOGY

Study Programme:	Robotics and cybernetics
Author:	Bc. Michal Bíro
Master's thesis:	Trajectory planning for a SCARA kinematic structure robot
Supervisor:	Ing. Michal Dobiš, PhD..
Place and year of submission:	Bratislava 2024

Abstract

Keywords: SCARA, trajectory planning, RRT

## **Pod'akovanie**

Chcel by som sa pod'akovať môjmu vedúcemu práce ...

# Obsah

<b>Úvod</b>	<b>1</b>
<b>1 Kinematika robota</b>	<b>2</b>
1.1 SCARA . . . . .	2
1.2 Kinematická štruktúra nášho robotického ramena . . . . .	3
1.2.1 2 stupne voľnosti . . . . .	5
1.2.2 3 stupne voľnosti . . . . .	6
<b>2 Algoritmy plánovania trajektórie</b>	<b>8</b>
2.1 RRT . . . . .	8
2.2 RRT* . . . . .	9
2.3 RRT - connect (prepojený) . . . . .	10
2.4 Potenciálové pole . . . . .	11
2.5 STOMP algoritmus . . . . .	11
<b>3 Výber algoritmu</b>	<b>13</b>
3.1 RRT . . . . .	13
3.2 Riešenie RRT - python . . . . .	13
3.2.1 3 stupne voľnosti . . . . .	16
3.2.2 2 stupne voľnosti . . . . .	17
<b>4 Implementácia algoritmu</b>	<b>18</b>
4.1 3 stupne voľnosti . . . . .	18
4.1.1 Kartézsky súradnicový systém . . . . .	18
4.1.2 Kľbový súradnicový systém . . . . .	18
4.2 2 stupne voľnosti . . . . .	18
<b>Záver</b>	<b>19</b>

# Zoznam obrázkov a tabuliek

Obrázok 1.1	SCARA robot - smery pohybov[<empty citation>] . . . . .	2
Obrázok 1.2	Brightpick Autopicker . . . . .	4
Obrázok 1.3	Model robota - Rviz . . . . .	5
Obrázok 1.4	Pracovný priestor robotického ramena . . . . .	6
Obrázok 2.1	Vizualizácia princípu RRT algoritmu . . . . .	9
Obrázok 2.2	Vplyv počtu iterácií na výslednú trajektóriu [<empty citation>] . .	10
Obrázok 2.3	Prepojenie 2 stromov [<empty citation>] . . . . .	10
Obrázok 2.4	Potenciálové pole [<empty citation>] . . . . .	11
Obrázok 2.5	Generované trajektórie [<empty citation>] . . . . .	12
Obrázok 3.1	RRT - dvojrozmerný priestor . . . . .	14
Obrázok 3.2	RRT* - dvojrozmerný priestor . . . . .	14
Obrázok 3.3	RRT connect - dvojrozmerný priestor . . . . .	15
Obrázok 3.4	RRT - trojrozmerný priestor . . . . .	15
Tabuľka 1.1	Parametre ramena . . . . .	5
Tabuľka 3.1	Rozsah konfiguračného priestoru - kartézsky súradnicový systém . .	16
Tabuľka 3.2	Rozsah konfiguračného priestoru - kľbový súradnicový systém . . .	17
Tabuľka 3.3	Rozsah konfiguračného priestoru - kľbový priestor . . . . .	17





# **Zoznam algoritmov**

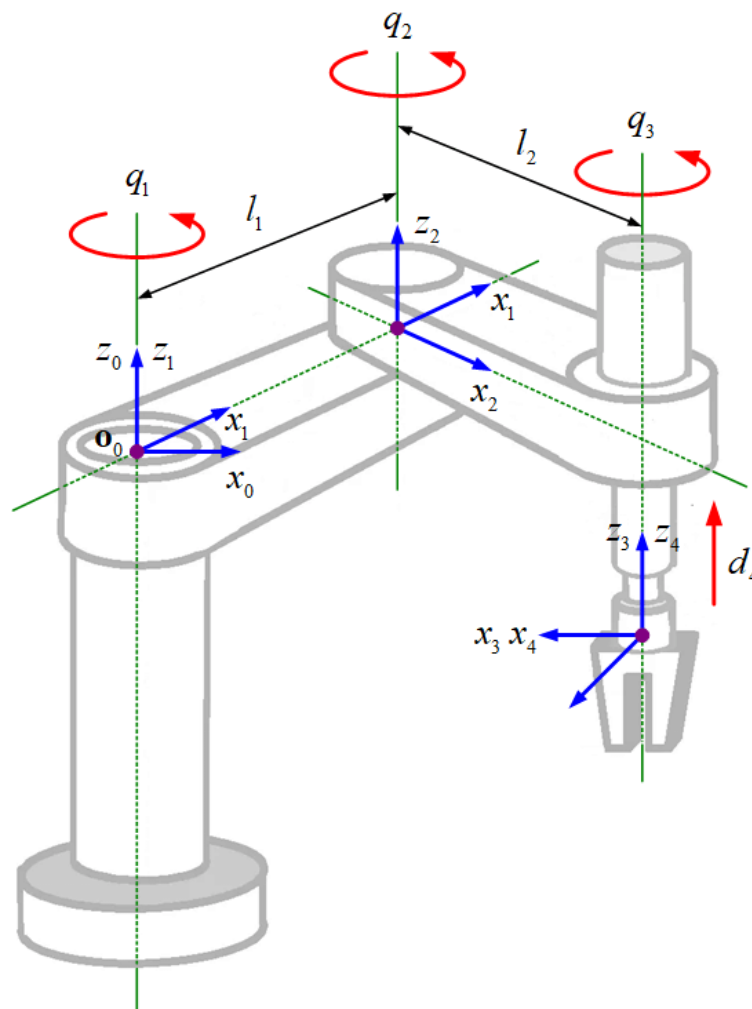
# **Zoznam výpisov**

# Úvod

# 1 Kinematika robota

## 1.1 SCARA

Scara robot je typ priemyselného robotického systému, ktorý bol vyvinutý na vykonávanie presných a opakujúcich sa úloh. Navrhol ho v roku 1979 vedec Hiroshi Makino z Yamanashi Univerzity[**<empty citation>**]. Názov SCARA je akronym (Selective Compliance Assembly Robot Arm), ktorý značí, že vertikálna poddajnosť (compliance) je väčšia ako poddajnosť v horizontálnom smere. Jeho hlavnou úlohou je najčastejšie presúvanie objektov z jedného miesta na druhé. Scara roboty majú obvykle 4 stupne voľnosti a svojou konštrukciou pripomínajú ľudskú ruku. (obr. 1.1). Ide o 3 rotačné a 1 posúvny kĺb, ktoré zabezpečujú pohyb robota vo všetkých



Obr. 1.1: SCARA robot - smery pohybov[**<empty citation>**]

osiach  $x$ ,  $y$  a  $z$ . Umiestnením otáčavých kĺbov v jednej rovine je pohyb robota v porovnaní s robotickými ramenami so 6 stupňami voľnosti, značne znevýhodnený. Taktiež nosnosť týchto

robotov je značne obmedzená, z dôvodu konštrukčných parametrov ako je nosnosť ložiska. Kinematická štruktúra SCARA robotov však prináša aj výhody, pre ktoré sú tieto roboty veľmi obľúbené a často používané.

SCARA robot disponuje tromi rotačnými kĺbmi a jedným posuvným kĺbom, ktoré mu umožňujú pohyb v priestore vo všetkých troch osiach  $x$ ,  $y$  a  $z$ . Tento dizajn umožňuje robotovi vykonávať presné a opakujúce sa úlohy aj keď umiestnenie rotačných kĺbov v jednej rovine obmedzuje jeho pohybovú schopnosť v porovnaní s robotmi s robotickými ramenami so 6 stupňami voľnosti. Napriek tomu, vďaka svojej kinematickej štruktúre, SCARA roboty prinášajú niekoľko výhod, ktoré ich robia obľúbenými vo viacerých odvetviach priemyslu.

Jednou z hlavných výhod je ich schopnosť dosiahnuť vysokú presnosť a rýchlosť pri vykonávaní úloh. Navyše, ich nízka hmotnosť, jednoduché ovládanie a kompaktné rozmery prispievajú k ich širokému uplatneniu. Okrem toho, SCARA roboty sú často cenovo dostupnejšie v porovnaní s inými typmi robotov, čo ich robí atraktívnou voľbou pre mnohé spoločnosti.

Vďaka týmto vlastnostiam sa SCARA roboty využívajú v rôznych odvetviach priemyslu, vrátane montáže, balenia, manipulácie s chemikáliami, potravinárskej výroby, laboratórií, farmaceutického priemyslu a automobilového priemyslu. Ich schopnosť vykonávať opakujúce sa úlohy s vysokou presnosťou a efektívnosťou ich robí dôležitým nástrojom v moderných výrobných prostrediach.

V našej práci sa nebudeme venovať len klasickej štruktúre SCARA robota so 4 stupňami voľnosti ale budeme skúmať a overovať riešiteľnosť daného problému aj pomocou iných kinematických štruktúr. Z dôvodu zníženia ceny robota budeme testovať, či je pre náš problém potrebný robot so 4 stupňami voľnosti (3 rotačné kĺby, 1 posuvný kĺb) alebo vieme štruktúru ešte viacej zjednodušiť. Naším cieľom je identifikovať najefektívnejšiu kinematickú štruktúru pre danú aplikáciu a zvážiť výhody a nevýhody rôznych prístupov.

## **1.2 Kinematická štruktúra nášho robotického ramena**

Robotické rameno s kinematickou štruktúrou SCARA, ktorému sa v tejto práci venujeme je súčasťou komplexného robotického riešenia. Ide o robota Brightpick Autopicker (obr. 1.2) skladajúceho sa z mobilného podvozku, na ktorom je umiestnená zdvižná plošina s krabicami slúžiacimi na uskladnenie tovaru a skompletizovanie objednávky. Na stĺpe, po ktorom sa táto plošina pohybuje v smere osi  $z$ , je umiestnené naše robotické rameno. Jeho úlohou je presun tovaru z krabice s tovarom do krabice s objednávkou. Poslednou časťou tohoto robota je skener, ktorý slúži na určenie pozície prenášaného objektu v krabici.

Pre vývoj algoritmu plánovania trajektórie sa budeme zaoberať iba vybranou časťou tohto komplexného riešenia a to konkrétne robotickým ramenom. Samotné robotické rameno sa

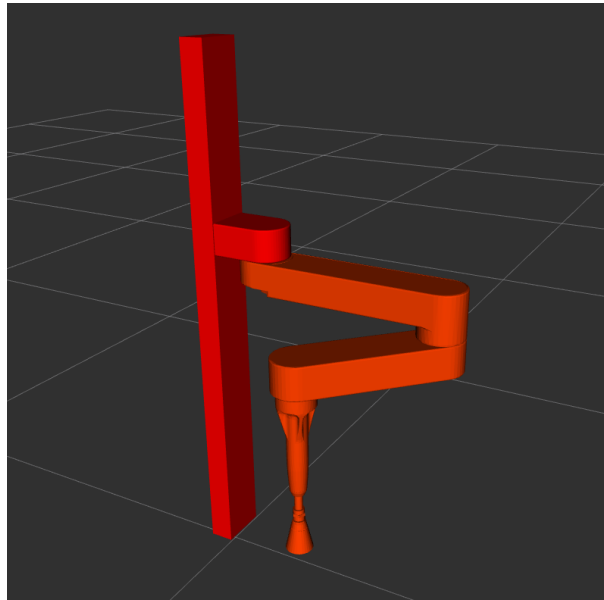


Obr. 1.2: Brightpick Autopicker

skladá z 2 ramien a 2 rotačných kĺbov (obr. 1.2). V porovnaní s klasickou kinematickou štruktúrou SCARA (obr. 2.2) nemá tretí rotačný kĺb, ktorý by zabezpečil rotáciu efektoru - teda rotáciu samotného prenášaného objektu. Taktiež neobsahuje posuvný kĺb, ktorý by zabezpečil pohyb v smere osi  $z$ . Tento pohyb totiž zabezpečuje zdvižná plošina, na ktorej sú umiestnené krabice s tovarom. Pre potreby našej úlohy si teda kinematickú štruktúru môžeme zjednodušiť na 2 stupne voľnosti - 2 rotačné kĺby. Plánovanie trajektórie budeme riešiť len od bodu uchytenia objektu efektorom robota (počiatočný bod trajektórie) po dosiahnutie bodu uloženie objektu do krabice (koncový bod trajektórie). Toto obmedzenie nám umožní lepšie optimalizovať pohyb a

rameno	dĺžka [mm]	rozsah [rad]
link1	360	$0 - \pi/2$
link2	260	$0 - 2\pi$

Tabuľka 1.1: Parametre ramena



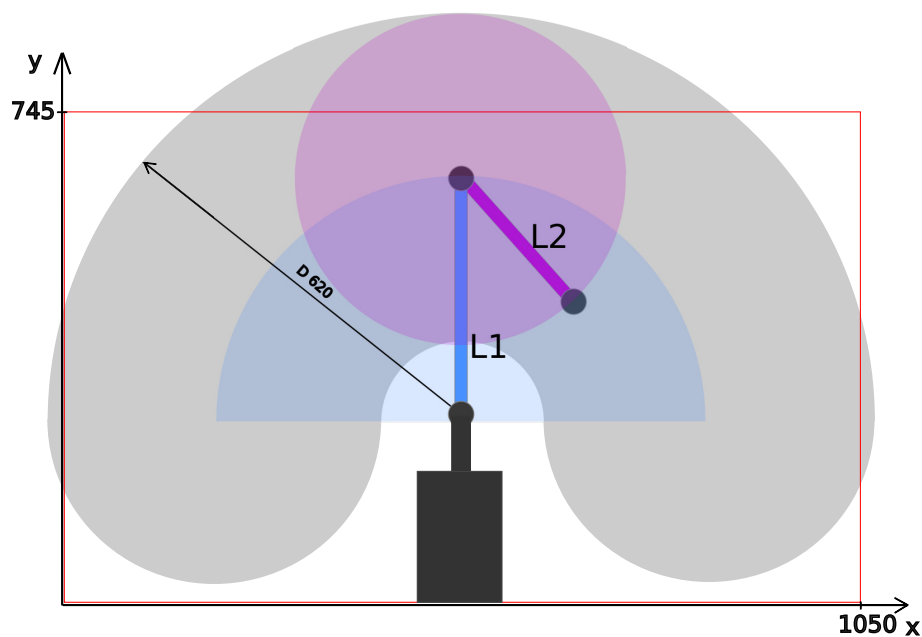
Obr. 1.3: Model robota - Rviz

zvážiť výhody a nevýhody kinematickej štruktúry.

Parametre robotického ramena sú uvedené v tabuľke 1.1. Parametre robota sa prejavujú v jeho pracovnom priestore (obr. 2.3), kde môžeme vidieť rozsah pohybu a dosiahnuteľných polôh nášho robotického ramena v 2D priestore. Modrou farbou je označené prvé rameno, rozsah jeho pohybu je vyznačený rovnakou farbou. Druhé rameno robota je označené fialovou farbou, čo platí aj pre rozsah jeho pohybu. Všetky dosiahnuteľné polohy robotickým ramenom sú označené sivou farbou. Pracovný priestor robota aj s uchopeným prenášaným objektom je na obrázku označený červenou farbou. Tento priestor je určený rozmermi celého robota, konkrétne zdvižnou plošinou, ktorej sú umiestnené krabice s tovarom a objednávkou. Pri prenášaní objektu z jednej krabice do druhej nesmie objekt ani robotické rameno vyjsť z toho priestoru aby nedošlo ku kolízii, keďže mimo tohoto rozsahu nevieme zaručiť voľný priestor.

### 1.2.1 2 stupne voľnosti

Prvou testovanou štruktúrou bude s 2 rotačnými kĺbmi, čo zodpovedá 2 stupňom voľnosti. V tejto kinematickej štruktúre sa budú otáčať 2 ramená robota a nástroj na uchytenie objektu, ktorý sa nachádza na konci kinematického reťazca bude fixný. Pri tejto konfigurácii je kritické



Obr. 1.4: Pracovný priestor robotického ramena

testovať schopnosť robota preniesť objekty rôznych tvarov a rozmerov zo štartovacej konfigurácie do cieľovej. Osobitnú pozornosť je potrebné venovať väčším podlhovastým objektom, kde môže nastať problém. Robot by mohol mať obmedzenú schopnosť otáčania objektov v rámci svojich dvoch rotácií ramien, čo by mohlo spôsobiť, že nedokáže dosiahnuť požadovanú konfiguráciu. Ďalším potenciálnym problémom môže byť kolízia so stĺpom, na ktorom je robotické rameno upevnené.

Testovanie na rôznych objektoch umožní identifikovať tieto obmedzenia a prípadne navrhnúť riešenia, ako ich prekonať. Zároveň bude možné získať dôležité informácie o výkonnosti a schopnostiach tohto typu kinematickej štruktúry v reálnych pracovných podmienkach.

### 1.2.2 3 stupne voľnosti

Druhá testovaná kinematická štruktúra sa bude líšiť od prvej pridaním ďalšieho rotačného kĺbu, ktorý umožní otáčať nástrojom na uchytienie objektu. Táto úprava by mala zlepšiť schopnosť robota nájsť vhodnú trajektóriu pre presun objektu zo štartovacej do cieľovej pozície. Počas testovania tejto konfigurácie budeme sledovať hlavne parametre, ako je čas, za ktorý robot prejde danú trajektóriu, a jej efektívnosť.

Dôležité je zaznamenať dáta, ktoré nám umožnia zhodnotiť, či pridaný rotačný kĺb prináša dostatočný prínos voči prvej konfigurácii. Tieto údaje nám pomôžu posúdiť, či investícia do efektívnejšieho robota s väčšími možnosťami je opodstatnená z hľadiska finančnej efektívnosti v porovnaní s lacnejším robotom, ktorý má obmedzené možnosti.

Kombinácia dosiahnuteľnosti cieľovej polohy pri rozličných rozmeroch objektov, časo-



vých dát a analýza efektivity bude kľúčová pri rozhodovaní, ktorá kinematická štruktúra je najvhodnejšia pre danú aplikáciu z hľadiska nákladov a výkonnosti.

## 2 Algoritmy plánovania trajektórie

Algoritmus plánovania trajektórie je matematický postup alebo procedúra, ktorá určuje optimálnu cestu alebo pohyb medzi počiatočným a koncovým bodom v priestore. Cieľom algoritmu plánovania trajektórie je nájsť optimálnu trajektóriu, ktorá spĺňa určité kritériá, ako sú bezpečnosť, efektivita, minimálny čas, minimalizácia spotrebovanej energie, alebo minimalizácia vplyvu na okolie. Tieto kritériá môžu byť definované podľa konkrétnej aplikácie a požiadaviek.

V tejto kapitole sa budeme venovať analýze rôznych algoritmov využívaných v oblasti robotiky. Na základe tejto analýzy budeme schopní určiť, ktorý z týchto algoritmov najlepšie vyhovuje našim potrebám a zabezpečí optimálnu kombináciu medzi presnosťou a rýchlosťou výpočtu. Vybraný algoritmus bude slúžiť ako základ pre úspešnú implementáciu a funkčnosť nášho systému pre plánovanie trajektórií.

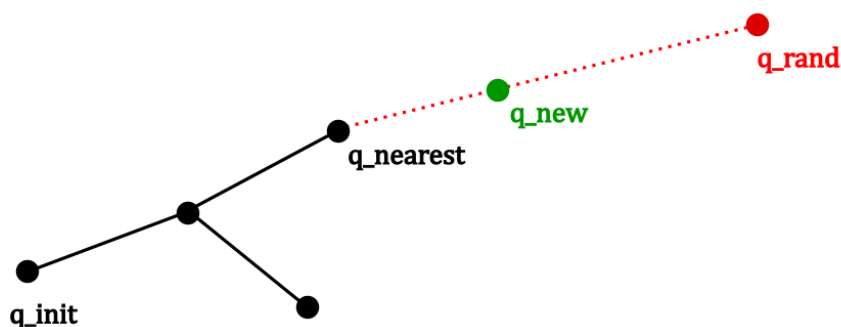
### 2.1 RRT

Algoritmus RRT – z anglického Rapidly-exploring Random Tree, by sa dal do slovenčiny preložiť ako rýchlo rastúci náhodný strom. Algoritmus je v oblasti robotiky veľmi rozšírený a obľúbený vďaka svojej schopnosti rýchlo prehľadávať vysoko dimenzionálny konfiguračný priestor, v ktorom zohľadňuje prekážky v priestore ako aj dynamiku telesa.

Ide o algoritmus založený na prehľadávaní konfiguračného priestoru  $C$ , kde sa v iteráciách vytvárajú náhodné uzly -  $q$ , ktorých spájaním vznikajú nové potenciálne cesty. Každý uzol  $q$  reprezentuje pozíciu a orientáciu telesa v 2D alebo 3D priestore []. Pri plánovaní trajektórie je generovaný kontinuálny rad uzlov (obr. 1.2), ktorý začína v počiatočnom stave  $q_{init}$ , a postupne sa rozrastá až dosiahne koncový stav  $q_{goal}$ . Generovanie stromu prebieha v iteráciách kedy sa vždy vygeneruje náhodná konfigurácia  $q_{rand}$  a nájde sa k nej najbližší uzol patriaci stromu. Od daného uzla je následne vo vzdialenosti  $v$  od uzla  $q_{nearest}$  vytvorený nový uzol  $q_{new}$ . Proces rozrastania stromu sa končí v momente ak sa  $q_{new}$  nachádza v okolí cieľovej konfigurácie  $q_{goal}$ , ktoré je definované vzdialenosťou  $d$ .

Ak neuvažujeme voľný konfiguračný priestor  $C_{free}$  treba v procese generovania taktiež overovať kolíziu s danými prekážkami v priestore -  $C_{obs}$ . Novo generovaný uzol stromu nesmie nachádzať v priestore prekážky -  $C_{obs}$ , a ani cesta medzi dvoma susednými uzlami nesmie kolidovať s prekážkou. Pokiaľ uzol spĺňa tieto podmienky, je zaradený do štruktúry stromu, v opačnom prípade je vyradený a proces pokračuje ďalej.

Ide o neoptimálne riešenie, keďže body v konfiguračnom priestore sú generované náhodne



Obr. 2.1: Vizualizácia princípu RRT algoritmu

a výsledný tvar trajektórie vzniká ako najkratšia cesta medzi nami vygenerovanými bodmi. Na zlepšenie trajektórie existuje viacero možností, ktoré ponúkajú suboptimálne riešenia problému, jedným z nich je napríklad RRT\*.

Algoritmus RRT môže mať nevýhodu v generovaní neoptimálnych výsledkov, pretože generuje body v konfiguračnom priestore náhodne a tvorí trajektóriu ako najkratšiu cestu medzi týmito bodmi. Na zlepšenie výslednej trajektórie existuje niekoľko možností, medzi ktorými je aj RRT\*.

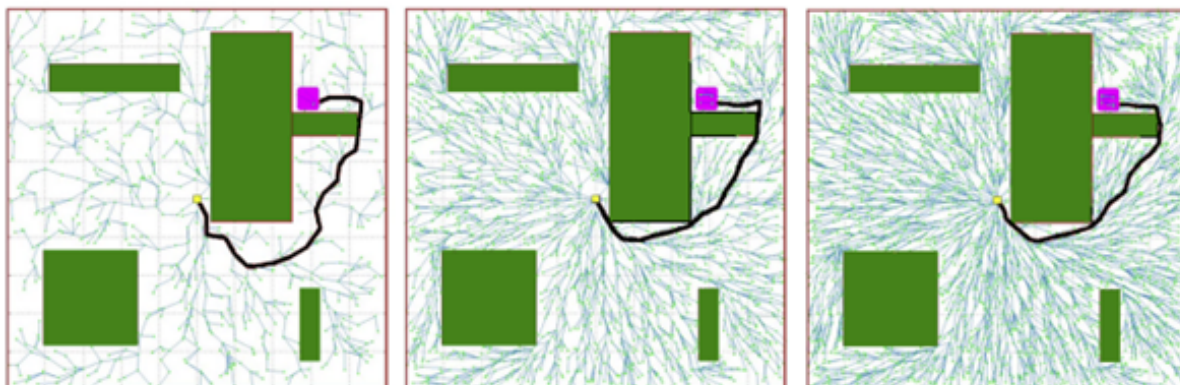
## 2.2 RRT\*

Jedná sa o modifikáciu RRT algoritmu, ktorej cieľom je v porovnaní s pôvodným RRT nájsť kratšiu trajektóriu. Hlavnou úpravou oproti jednoduchému RRT algoritmu je výpočet vzdialenosti z počiatočného do aktuálneho uzlu a následné overenie, či neexistuje v okolí uzol, ktorého vzdialenosť by bola menšia ako vzdialenosť momentálneho prepojenia. Ak táto situácia nastane, algoritmus vyberie prepojenie uzlov, ktoré vytvoria kratšiu trasu. Algoritmy sa tiež líšia ukončovacou podmienkou, kde pre RRT\* je určený jasný počet iterácií. Od počtu iterácií závisí výsledný tvar trajektórie, kde so zvyšujúcim sa počtom je algoritmus schopný nájsť kratšie a plynulejšie trasy (obr. 2.2).

Tieto úpravy a rozdiely umožňujú algoritmu RRT\* dosiahnuť lepšie výsledky v porovnaní s pôvodným RRT, čo ho robí atraktívnou voľbou pre úlohy, kde je kritické dosiahnutie čo najlepšej trajektórie v danom priestore. Je dôležité zohľadniť aj možnosť zvýšenia času výpočtu pri použití algoritmu RRT\*. Aj keď má RRT\* potenciál nájsť kratšie a plynulejšie trasy ako klasický RRT, zvyšuje sa časová náročnosť algoritmu vzhľadom na výpočet vzdialeností a overovanie optimality spojení medzi uzlami.

Pri navrhovaní algoritmu pre plánovanie trajektórií je preto dôležité hľadať rovnováhu medzi kvalitou výsledných trajektórií a časovou náročnosťou výpočtu. Niekedy môže byť ak-

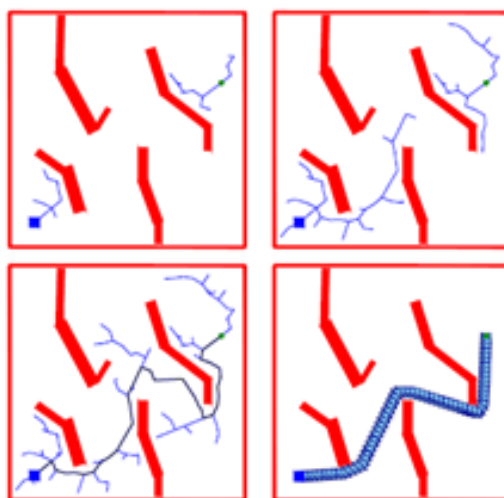
ceptovateľné mať mierne suboptimálnu trajektóriu, ak to znamená výrazné zrýchlenie výpočtu.



Obr. 2.2: Vplyv počtu iterácií na výslednú trajektóriu [[empty citation](#)]

## 2.3 RRT - connect (prepojený)

Algoritmus RRT Connect (spojenie) je ďalšou modifikáciou algoritmu RRT. V procese rozširovania stromovej štruktúry vytvára dva stromy z počiatočnej a koncovj konfigurácie, ktoré sa šíria v konfiguračnom priestore, až kým nedôjde k ich spojeniu a vytvoreniu cesty. (obr. 2.3).



Obr. 2.3: Prepojenie 2 stromov [[empty citation](#)]

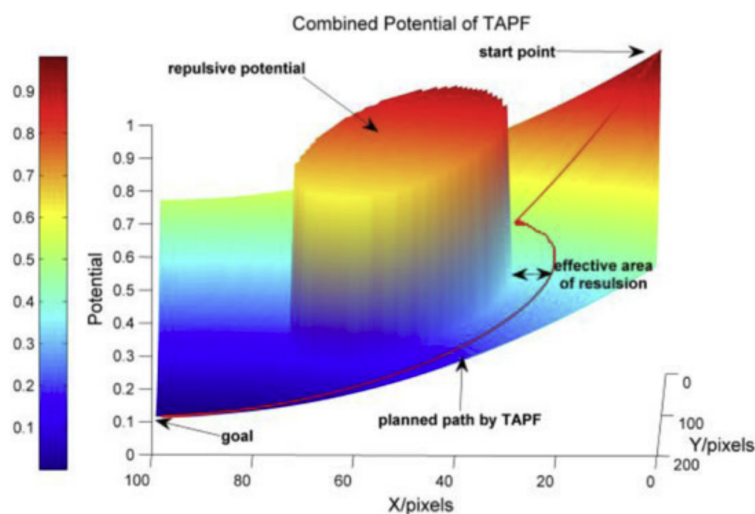
Tento algoritmus má výhodu v tom, že nájdenie trajektórie je často ľahšie dosiahnuteľné jedným z dvoch možných smerov pohybu medzi dvoma bodmi, čo závisí od prekážok v priestore  $C_{obs}$ . Použitím algoritmu RRT Connect sa zvyšuje pravdepodobnosť úspešného nájdenia trajektórie od počiatočného bodu ku koncovému.

Tento prístup umožňuje efektívnejšie prehľadávanie konfiguračného priestoru, pretože vytvára dva stromy, ktoré sa šíria smerom k cieľu. Tým sa zvyšuje šanca na rýchlejšie nájdenie vhodnej trajektórie, najmä v prípade, že existuje jasný smer pohybu medzi počiatočným a koncovým bodom.

## 2.4 Potenciálové pole

Plánovanie trajektórie na základe potenciálového poľa využíva koncept odpudivých a príťažlivých polí. Príťažlivé pole generuje veľmi nízke hodnoty so stredom v cieľovom bode, ktoré sa so zväčšujúcou sa vzdialenosťou od cieľa zvyšujú. Odpudivé pole naopak generuje veľmi vysoké hodnoty v okolí prekážok v priestore. Kombináciou týchto dvoch polí dostávame tzv. potenciálové pole (obr. 2.4) so silným sklonom ku cieľu, čo umožňuje generovanie trajektórie s tendenciou vyhýbať sa prekážkam.

Tento prístup k plánovaniu trajektórie je intuitívny a efektívny v situáciách, kde je cieľ jasne definovaný a potrebné je vyhnúť sa prekážkam v priestore. Použitie potenciálového poľa môže viesť k vytvoreniu plynulej a bezpečnej trajektórie, ktorá dosahuje cieľový bod s minimálnym rizikom kolízií.



Obr. 2.4: Potenciálové pole [empty citation]

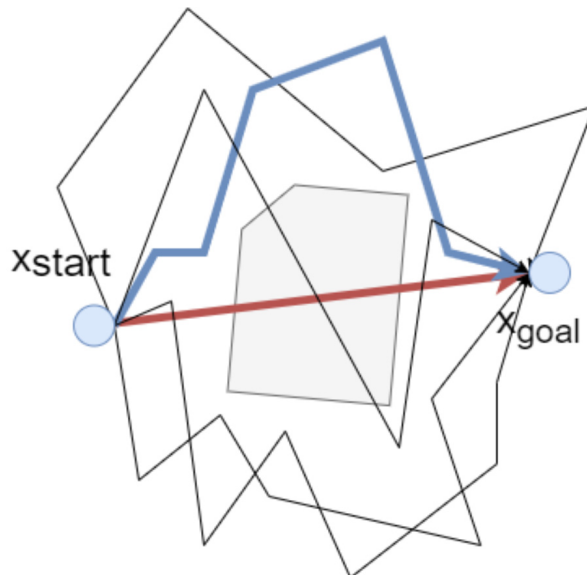
## 2.5 STOMP algoritmus

Algoritmus STOMP (Stochastic Trajectory Optimized Motion Planner) funguje na základe iteratívneho procesu, ktorý sa skladá z niekoľkých krokov. Počiatočná trajektória je generovaná ako lineárna interpolácia medzi počiatočným a koncovým bodom. STOMP pracuje s fixným počtom krokov na trajektóriu, nazývaných "timesteps", a tiež s definovaným počtom iterácií,

v ktorých algoritmus hľadá trajektóriu. Následne je generovaný šum, ktorý je aplikovaný na každý bod trajektórie, čo umožňuje prehľadávanie konfiguračného priestoru v okolí počiatočnej trajektórie (obr. 2.5).

Každá vygenerovaná trajektória je potom ohodnotená pomocou účelovej funkcie. V prípade, že priestor obsahuje veľké množstvo prekážok, môže nastať situácia, kedy algoritmus nenájde riešenie. Zvýšením hodnoty šumu sa zväčší priestor prehľadávania a zvýši sa pravdepodobnosť nájdenia bezkolíznej trasy, avšak za cenu zníženej optimalizácie trajektórie. Toto môže byť riešené zvýšením počtu iterácií, avšak to môže mať za následok zvýšenie výpočtového času algoritmu.

Zvolenie správnych parametrov a vyváženie medzi priestorom prehľadávania, optimalizáciou trajektórie a výpočtovým časom je kľúčové pre úspešné použitie algoritmu STOMP v plánovaní trajektórie v prostredí s prekážkami.



Obr. 2.5: Generované trajektórie [**<empty citation>**]

## 3 Výber algoritmu

Hlavnou časťou našej práce je implementácia algoritmu na hľadanie trajektórie pre pohyb objektu v priestore. Výber správneho algoritmu je preto kľúčový. Je nevyhnutné vybrať taký algoritmus, ktorý najlepšie zodpovedá našej úlohe.

Pri rozhodovaní o vhodnom algoritme je dôležité zohľadniť nielen schopnosť algoritmu nájsť optimálnu trajektóriu, ale aj jeho rýchlosť výpočtu. Vzhľadom na to, že náš robotický systém pracuje v reálnom čase, je kľúčové zvoliť algoritmus, ktorý dokáže rýchlo generovať trajektórie bez zbytočného oneskorenia.

V tejto kapitole sa budeme venovať výberu algoritmu plánovania trajektórie pre naše špecifické úlohy. Taktiež si predstavíme existujúce riešenie, na ktorom budeme v našej práci stavať, rozširovať a upravovať ho podľa potrieb našej úlohy. Na záver si vysvetlíme, ako budeme pristupovať k plánovaniu trajektórie pri jednotlivých kinematických štruktúrach, ktoré budeme testovať.

### 3.1 RRT

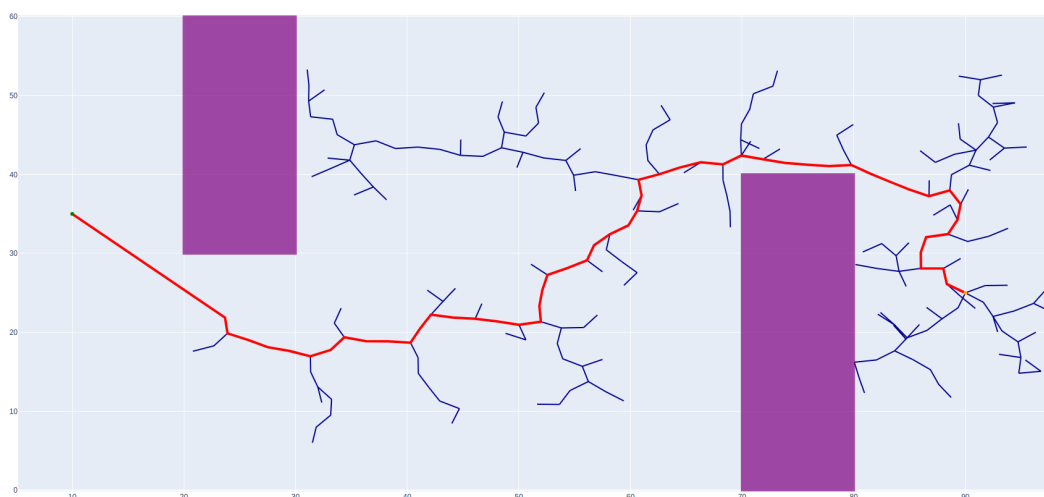
Analýzou jednotlivých typov algoritmov pre plánovanie trajektórie sme dospeli k záveru, že najvhodnejšou voľbou pre našu úlohu bude RRT algoritmus. Tento výber sme urobili najmä pre jeho schopnosť rýchlo prehľadávať konfiguračný priestor. RRT algoritmus je vhodný nielen pre svoju rýchlosť, ale aj pre jeho univerzálnosť, pretože ho vieme využiť ako v kartézskom súradnicovom systéme, tak aj v kľbovej súradnicovej sústave. Táto flexibilita bude dôležitá pri implementácii plánovania trajektórie pre rôzne kinematické štruktúry.

Ďalšou výhodou RRT algoritmu je jeho jednoduchá a rýchla modifikovateľnosť podľa našich potrieb. V našej práci budeme tiež porovnávať RRT algoritmus s jeho modifikáciou, RRT\*. Budeme sa snažiť nájsť optimálne riešenie z hľadiska času výpočtu a kvality výslednej trajektórie.

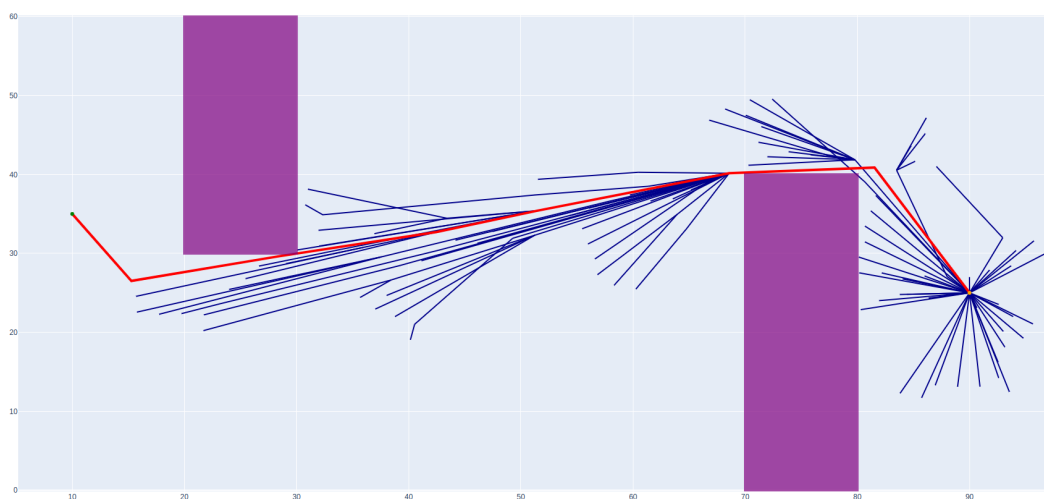
### 3.2 Riešenie RRT - python

RRT algoritmus je široko využívaný a populárny, a preto existuje mnoho dostupných implementácií v rôznych programovacích jazykoch. V našej práci budeme pracovať v jazyku Python, preto sme sa rozhodli analyzovať rôzne voľne dostupné implementácie tohto algoritmu v tomto jazyku.

Z dostupných riešení a implementácií RRT algoritmu v jazyku Python sme sa rozhodli použiť implementáciu od autorov knižnice rrt-algorithms []. Obsahuje RRT algoritmus (obr. 3.1) ako aj jeho modifikácie - RRT\* (obr. 3.2) a RRT connect (obr. 3.3).



Obr. 3.1: RRT - dvojrozmerný priestor

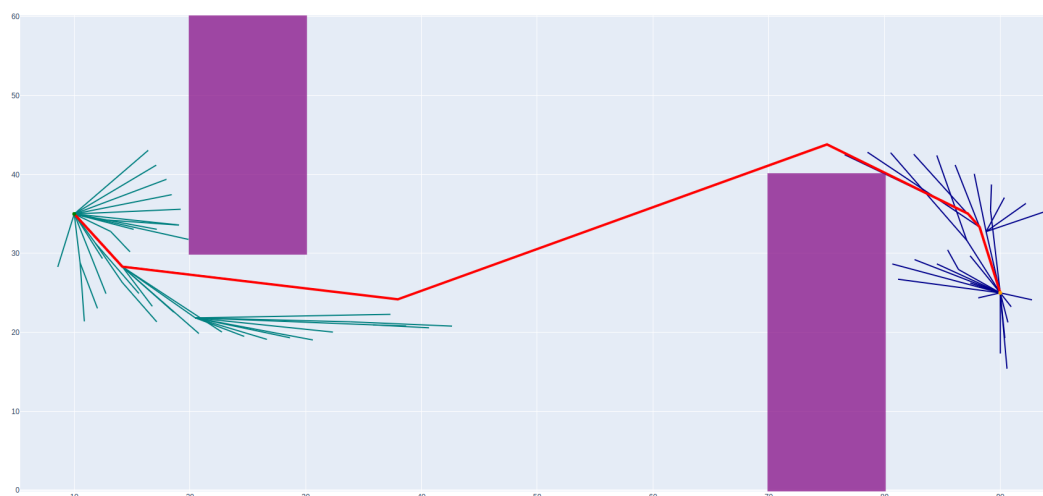


Obr. 3.2: RRT\* - dvojrozmerný priestor

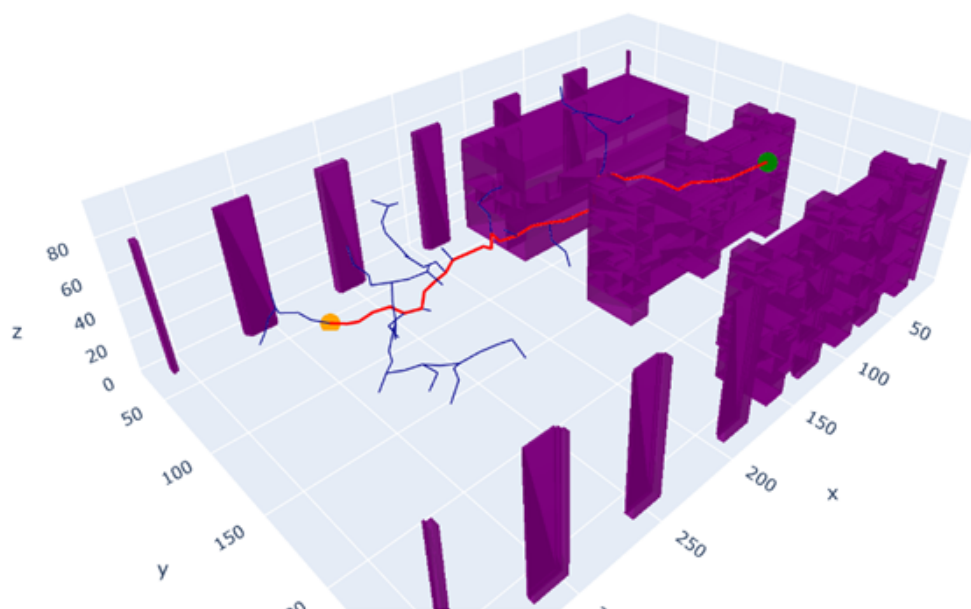
Riešenie, na ktorom budeme stavať, je vytvorené pre plánovanie v kartézskom súradnicovom systéme a to v dvoj aj v trojrozmernom priestore (obr. 3.4). Algoritmu je potrebné zadať rozsah prehl'adávaného priestoru, počiatkový a koncový bod a ak sa v priestore nachádzajú prekážky, ich pozície v prehl'adávacom priestore. Ako môžeme vidieť na obrázkoch 3.1, 3.2, 3.3, táto implementácia pracuje iba s hmotným bodom, neuvažuje teda rozmery prenášaného objektu.

Pre riešenie našej úlohy bude potrebné rozšíriť tento algoritmus tak, aby neuvažoval o prenášanom objekte ako o hmotnom bode, ale aby bral do úvahy aj jeho rozmery. Prístup, ktorý je možné zvoliť je kontrola kolízií v generovaných bodoch na základe ktorej bude tento bod uznaný za nevyhovujúci a bude generovaná nová bezkolízna konfigurácia. Objekt bude v pries-





Obr. 3.3: RRT connect - dvojrozmerný priestor



Obr. 3.4: RRT - trojrozmerný priestor

tore definovaný bodom, v ktorom je uchopený robotickým ramenom - v našom prípade to bude geometrický stred objektu, a jeho orientáciou v priestore. Stred bude definovaný súradnicami  $x, y$  pracovného priestoru v kartézskom súradnicovom systéme. Orientácia objektu bude reprezentovaná ako uhol medzi osou objektu a osou  $x$  v stupňoch.

Plánovanie bude prebiehať na rozdielnych kinematických štruktúrach, preto je dôležité zvoliť správny prístup pre každú z nich a prispôbiť algoritmus ich individuálnym potrebám.

### 3.2.1 3 stupne voľnosti

Plánovanie trajektórie pri kinematickej štruktúre s 3 stupňami budeme riešiť primárne v kartézskom súradnicovom systéme. Ako základ pre implementáciu nášho algoritmu použijeme RRT v 3 rozmernom konfiguračnom priestore kde osi  $x$  a  $y$  budú reprezentovať osi  $x, y$  v pracovnom priestore robota. Os  $z$  konfiguračného priestoru bude zodpovedať natočenie objektu okolo jeho stredu, ktorý nám bude reprezentovať bod uchytenia objektu.

Plánovanie trajektórie pri kinematickej štruktúre s 3 stupňami voľnosti budeme riešiť primárne v kartézskom súradnicovom systéme. Pre implementáciu nášho algoritmu použijeme RRT v trojrozmernom konfiguračnom priestore, pričom osi  $x$  a  $y$  budú reprezentovať osi  $x$  a  $y$  v pracovnom priestore robota. Os  $z$  konfiguračného priestoru bude zodpovedať natočeniu objektu okolo jeho stredu, ktorý nám bude reprezentovať bod uchytenia objektu. Rozsah konfiguračného priestoru (tab. 3.1) bude zodpovedať rozsahu pracovnému priestoru robota v osiach  $x, y$  a rozsahu maximálnej rotácie objektu v priestore.

$x$ [mm]	$y$ [mm]	$z$ [°]
0 - 1050	0 - 745	0 - 360

Tabuľka 3.1: Rozsah konfiguračného priestoru - kartézsky súradnicový systém

Pri kinematickej štruktúre s 3 stupňami voľnosti budeme tiež testovať plánovanie trajektórie v kĺbovom priestore. Tieto dáta budeme neskôr používať na porovnanie plánovania trajektórie v kĺbovom a kartézskom priestore. Budeme sledovať čas výpočtu algoritmu, úspešnosť nájdenia cesty a kvalitu trajektórie.

Plánovanie trajektórie v kĺbovom priestore nám umožní preskúmať, ako dobre sa algoritmus dokáže prispôbiť špecifikám kinematickej štruktúry robota a aký vplyv má voľba priestoru na výslednú trajektóriu. Porovnanie výsledkov s plánovaním trajektórie v kartézskom priestore nám poskytne ucelený obraz o výkonnosti a efektívnosti oboch prístupov.

Osi konfiguračného priestoru  $x, y$  a  $z$  budú odpovedať otočeniam jednotlivých kĺbov robotického ramena (tab. 3.2).

x [°]	y [°]	z [°]
0 - 180	0 - 360	0 - 360

Tabuľka 3.2: Rozsah konfiguračného priestoru - kĺbový súradnicový systém

### 3.2.2 2 stupne voľnosti

Plánovanie trajektórie pri štruktúre s 2 stupňami voľnosti, ktoré predstavujú 2 rotačné kĺby robotického ramena, nám neumožňuje plánovať v kartézskom priestore, pretože nie každá konfigurácia by bola dosiahnuteľná. Z tohto dôvodu je nevyhnutné použiť plánovanie v kĺbovom konfiguračnom priestore. Pôjde o dvojrozmerný konfiguračný priestor, kde osi  $x$  a  $y$  budú predstavovať rotácie jednotlivých kĺbov. Rozsah konfiguračného priestoru, ktorý odpovedá rozsahu pohybu jednotlivých kĺbov je uvedený v tabuľke 3.2.

x [°]	y [°]
0 - 180	0 - 360

Tabuľka 3.3: Rozsah konfiguračného priestoru - kĺbový priestor

## **4 Implementácia algoritmu**

### **4.1 3 stupne voľnosti**

#### **4.1.1 Kartézsky súradnicový systém**

co sme pridali - preco vizualizacia, collisioncheck, path sampling, ... vyvojove diagramy

#### **4.1.2 Klbový súradnicový systém**

co sme pridali - preco - FK, IK , vizualizacia, ... vyvojove diagramy

### **4.2 2 stupne voľnosti**

opisat rozdiel medzi 2DOF a 3DOF princip predrotacie vyvojove diagramy

# **Záver**

Conclusion is going to be where?

Here.